

量子相变与解禁闭量子相变介绍

郭文安

北京师范大学物理系

2023 年 4 月



提纲

相变基础知识

相变的统计物理描述

临界现象模型与理论

Ising model, 关联函数

数值模拟: 蒙特卡洛方法

序参量与关联函数

LGW 连续场论描述

标度理论与重整化群

量子临界现象

量子相变与模型

经典量子映射

场论描述与有限尺寸标度

退禁闭量子临界性介绍

拓扑相变和拓扑激发

理论介绍

微观模型及其数值研究

- Spin-liquid-like state in disordered 2D quantum magnets

提纲

相变基础知识

相变的统计物理描述

临界现象模型与理论

Ising model, 关联函数

数值模拟: 蒙特卡洛方法

序参量与关联函数

LGW 连续场论描述

标度理论与重整化群

量子临界现象

量子相变与模型

经典量子映射

场论描述与有限尺寸标度

退禁闭量子临界性介绍

拓扑相变和拓扑激发

理论介绍

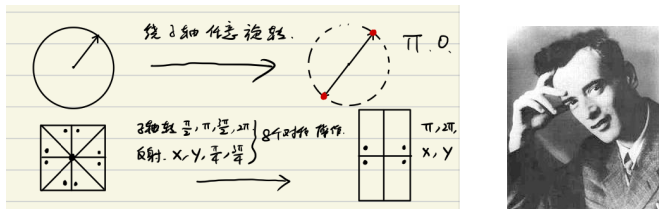
微观模型及其数值研究

- Spin-liquid-like state in disordered 2D quantum magnets

- 相 (Phase) :

热力学系统（或它的一部分）如果具有均匀的物理性质，称为处于某相

- 传统上物态分类: 固相, 液相, 气相, 等离子体
- 现代观点(Landau): 相由对称性的破缺刻画



固体: 晶格破缺了空间平移和旋转对称性, 不同于**液体**

不同的晶格结构视为不同的相: 破缺对称性的方式不同

液体和气体都没有破缺平移和旋转对称性, 实际是一个相

- 相变(Phase Transition): 物质性质的不连续或者不光滑, 突兀的转变

- 从一种相转变成另一种相: 比如冰融化就是水的固液相变
- 同一个相也可以: 气液相变 (100度以下烧水, 可避免)

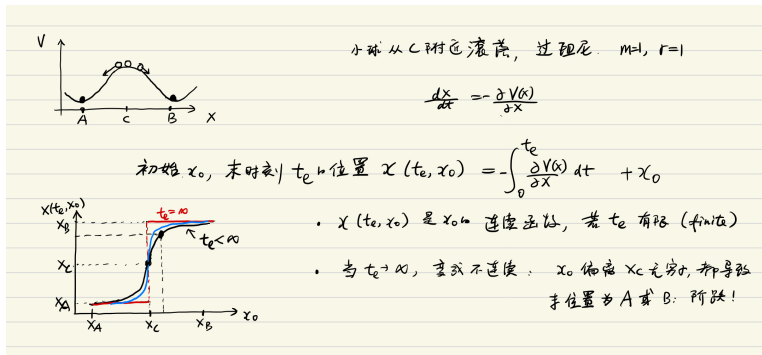
丰富多彩的相变与临界现象

- 热力学相变（或经典相变）：温度或者说热带来涨落，热涨落驱动
 - ▶ 气液固三态之间的转变
 - ▶ 超导体与正常导体的转变
 - ▶ 铁磁, 顺磁, 反铁磁之间的转变
 - ▶ 超流与正常流体的转变
- 量子相变：零温, 没有热涨落, 由量子涨落驱动的转变
由调节外参量, 改变基态. 外参量可以是：压力, 磁场强度, 参杂浓度。
 - ▶ BEC的超流-Mott绝缘体转变
 - ▶ Neel 反铁磁到量子顺磁
 - ▶ 磁性的绝缘体通过掺杂变成高温超导体
 - ▶ 铁磁到量子顺磁

相变与临界现象总伴随着热力学量的奇异性:

不连续、发散或导数发散!

熟悉的物理: $\frac{dx}{dt}, \frac{d^2x}{dt^2}, \nabla V$ 可导, 光滑



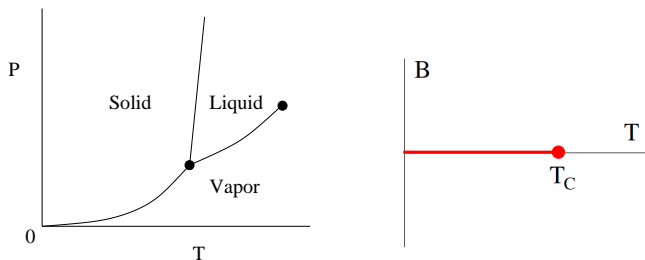
大量粒子的集体行为(类比于长时间行为)可以非常不同于单个粒子(类比于有限时间行为),

宏观性质变化可以不光滑: 相变

现代物理学把相变分成两类

- 一级相变(First Order Phase Transition):

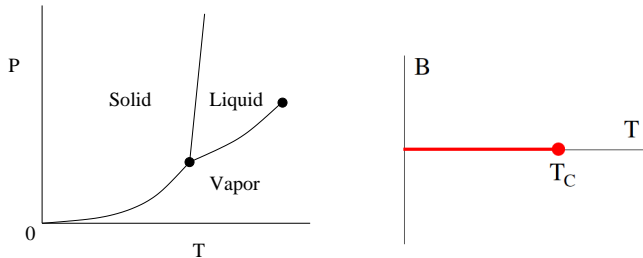
自由能的一级导数不连续，两相（或多相）共存



现代物理学把相变分成两类

- 连续相变(continuous phase transition),

对称性自发破缺，系统性质(对称性)整体转变，不是一个相从另一个相中‘生长’出来



- 连续相变点称为**临界点(Critical Point)**: 高温对称相小磁铁方向乱, 低温对称破缺: 指向特定方向
- 系统表现出非常特殊的性质称为 **临界现象(Critical Phenomena)**
 - 通常比热, 磁化率等自由能二级导数发散, 又称二级相变

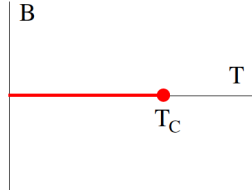
临界指数

临界现象更有兴趣！

热力学量的发散可以用临界指数来描述

临界指数

以单轴各向异性铁磁体为例

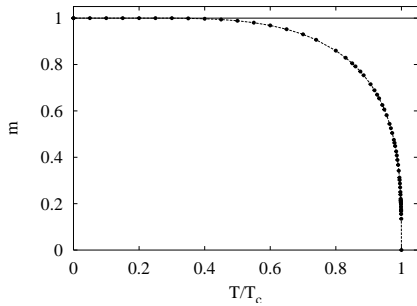


自发磁化

- 磁化强度

$$m \propto t^\beta \quad t = (T_c - T)/T_c$$

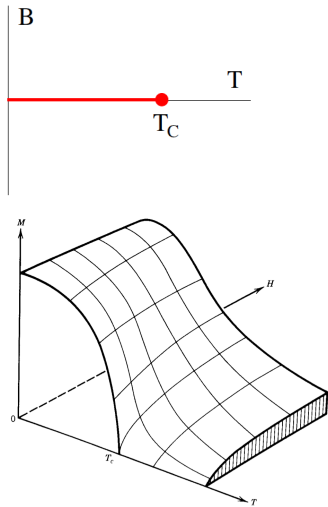
其中 T_c : 居里点, 临界点



- 临界指数

$$2D : \beta = 1/8; \quad 3D : \beta = 1/3$$

临界指数



- 靠近 T_c , 磁化率

$$\chi = \frac{\partial m}{\partial h} \propto t^{-\gamma}, \quad t = (T_c - T)/T_c$$

► 临界指数

$$2D : \gamma = 7/4; \quad 3D : \gamma = 4/3$$

- 在 T_c 处,

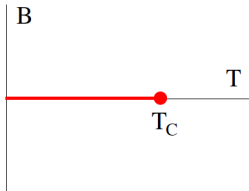
$$h \propto m^\delta$$

► 临界指数

$$2D : \delta = 15; \quad 3D : \delta = 5$$

from K.S. Huang

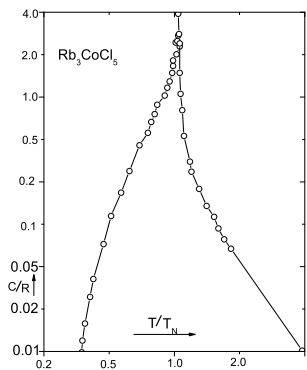
临界指数



比热

- 3D 情况

$$c \propto |t|^{-\alpha}, \quad t = (T_c - T)/T_c$$



► 临界指数

$$\alpha \approx 0.1096 \pm 0.0005$$

自然界里的新常数?

- 2D 特殊, 对数发散

$$c \propto -\ln(t).$$

► 临界指数

可以认为 $\alpha = 0$.

普适类

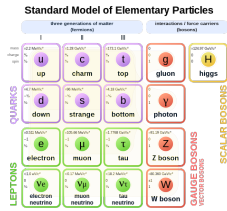
- 上面的现象在所有临界点都类似，但临界指数可以不同
- 很多完全不同的相变却有相同的临界指数—**普适类**
汽液临界点 α 与单轴铁磁体(3D)的一样！
- 核心的问题是**对称性**，与细节无关

讨论相变问题发展出来的理论和想法都可以直接应用到粒子物理，宇宙学.....

比如真空，可以处于不同的相，大爆炸后冷却过程中发生多次相变.....

普适性的出现还与尺度有关: Nature is organised by Scale

- little things affect big things : 粒子→核→原子→化学或凝聚态系统→…
而不会相反: 星象学
- but rarely affect very big things, but slightly bigger things, and so on
研究椋鸟群聚飞行行为的动物学家不需要研究基本粒子的规律
牛顿, Einstein 不需要知道量子力学就可以写下他们的方程



- 通过研究相变, 人们提出了重整化理论, 通过它我们可以同时理解不同尺度(scale)的物理: Higgs boson 和椋鸟的群聚
在不同的尺度上涌现 (emerge)出该尺度上的first principle

提纲

相变基础知识

相变的统计物理描述

临界现象模型与理论

Ising model, 关联函数

数值模拟: 蒙特卡洛方法

序参量与关联函数

LGW 连续场论描述

标度理论与重整化群

量子临界现象

量子相变与模型

经典量子映射

场论描述与有限尺寸标度

退禁闭量子临界性介绍

拓扑相变和拓扑激发

理论介绍

微观模型及其数值研究

- Spin-liquid-like state in disordered 2D quantum magnets

相互作用多粒子系统的描述: 统计物理

► 微观状态

- 经典系统, 可认为任意力学量与 H 对易, 每个微观状态 Γ 有确定能量 $E(\Gamma) = H(\Gamma)$
- 平衡态配分函数(partition function)

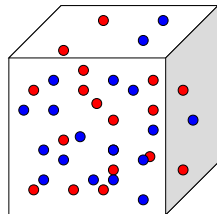
$$Z = \sum_{\Gamma} e^{-E(\Gamma)/k_B T} = \sum_{\Gamma} W(\Gamma)$$

每个微观状态出现的几率由温度和该状态的能量决定:
正则分布(Canonical distribution)

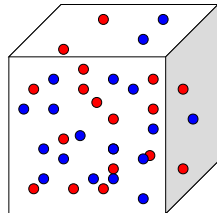
$$p_{\text{eq}}(\Gamma) = W(\Gamma)/Z$$

物理量的统计期望值: $\langle A \rangle = \sum_{\Gamma} A(\Gamma) \frac{W(\Gamma)}{Z}$

P_{eq} 带来涨落(同样的系统, 同样的参数, 不一样的物理量)
本质是热涨落



相互作用多粒子系统的描述: 统计物理



► 微观状态

- 量子系统, 哈密顿量的本征态不容易知道

• 平衡态配分函数

$$Z = \text{Tr } e^{-H/k_B T} = \sum_{\alpha} \langle \alpha | e^{-\beta H} | \alpha \rangle$$

$|\alpha\rangle$ 是任意正交完备基矢(也可以是 $|E\rangle$)

物理量的统计期望值

$$\langle A \rangle = \frac{1}{Z} \text{Tr}\{Ae^{-\beta H}\}$$

当温度 $T \rightarrow 0$, $\langle A \rangle = \langle 0 | A | 0 \rangle$

当 A 与 H 没有共同本征态时, 带来涨落, 这是量子涨落(系统处于同样的量子态, 可是测量结果可以不同)



提纲

相变基础知识

相变的统计物理描述

临界现象模型与理论

Ising model, 关联函数

数值模拟: 蒙特卡洛方法

序参量与关联函数

LGW 连续场论描述

标度理论与重整化群

量子临界现象

量子相变与模型

经典量子映射

场论描述与有限尺寸标度

退禁闭量子临界性介绍

拓扑相变和拓扑激发

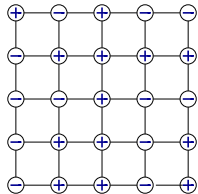
理论介绍

微观模型及其数值研究

- Spin-liquid-like state in disordered 2D quantum magnets

Ising model (经典), 描述相变的真空球形鸡

描写单轴铁磁体 (可以在任意晶格上, 以二维正方晶格为例)



$$H = -J \sum_{\langle i,j \rangle} s_i s_j - B \sum_k s_k; \quad s_k = \pm 1$$

微观状态 $\Gamma = (s_1, s_2, \dots, s_N)$.

总磁矩 $M(\Gamma) = \sum_k s_k$

- $J > 0$, 铁磁(ferromagnetic)
- $J < 0$, 反铁磁(antiferromagnetic)

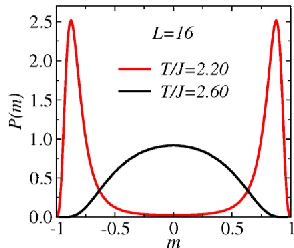
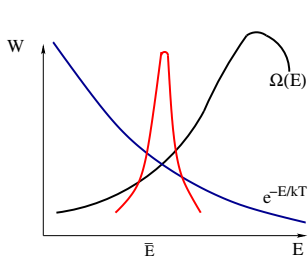
当系统处于热平衡

$$\langle M \rangle = \sum_{\Gamma} M(\Gamma) p_{eq}(\Gamma)$$

- ▶ 在磁性和相变理论中非常重要
- ▶ 也是其它统计物理问题的有效模型: 格气(lattice gas), 合金, 原子在表面的吸附问题等

如果没有外磁场,

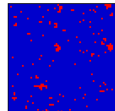
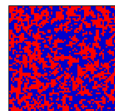
$$Z = \sum_{\Gamma} e^{-\beta H} = \sum_E \Omega(E) e^{-E/k_B T}, \quad \beta = 1/k_B T$$



- 自由能密度

$$f = -\frac{k_B T}{N} \ln Z \approx \bar{E} - k_B T \frac{\ln \Omega(\bar{E})}{N}$$

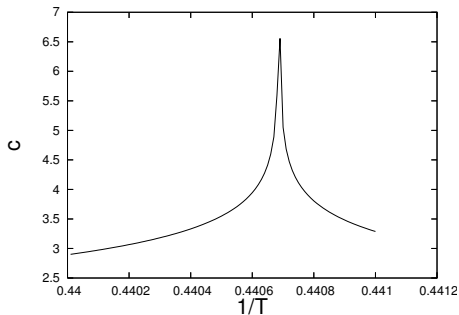
- 能量与熵的竞争: 高温无序, $\bar{E} \rightarrow \Omega$ 极大, 低温有序 $\bar{E} \rightarrow E$ 极小



Onsager 的里程碑

看似简单的Ising模型，求解异常困难

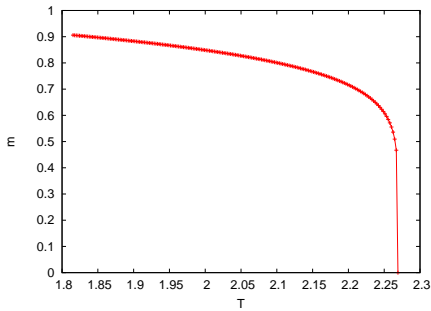
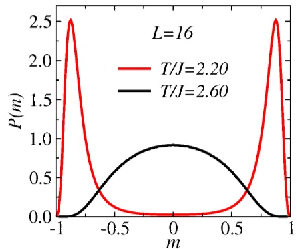
对二维Ising模型的求解是统计物理理解相变问题的里程碑！



临界点附近比热对数发散

$$c \propto k_B \ln |(T - T_c)/T_c|$$

杨振宁的磁化强度



临界温度以下 $T < T_c$:

$$m = \left(1 - \frac{1}{\sinh^4 2/T}\right)^{1/8} \propto \left(\frac{|(T - T_c)|}{T_c}\right)^{1/8}$$

指数严格为 $1/8$

数值方法

Monte Carlo simulation: 直接求和或积分不可能或不容易时的办法

以Ising model 为例, 考虑任意物理量 A , 计算它的统计平均

$$\langle A \rangle = \sum_{\Gamma} A(\Gamma) p(\Gamma)$$

直接求和不现实: 2^N 个微观状态 (位形)

重要性抽样(Importance sampling)

[Metropolis, Rusenbluth, Rosenbluth, Teller, and Teller, Phys.Rev.1953]

- 构造一个随机过程，得到一系列微观状态 $\Gamma_1, \Gamma_2, \dots, \Gamma_M$.

Γ_{t+1} 由 Γ_t 按照一定的跃迁几率(transition prob.) $T(\Gamma_{t+1}, \Gamma_t)$ 得到

当 $M \rightarrow \infty$, 任一给定位形 Γ 出现的频率 $\frac{N(\Gamma)}{M} = \frac{e^{-E(\Gamma)/k_B T}}{Z}$.

- 实现按位形的正则分布概率来抽取位形，而不是在相空间等概率地抽取位形

$$\langle A \rangle \approx A_M = \sum_{\Gamma} \frac{N(\Gamma)}{M} A(\Gamma) = \frac{1}{M} \sum_l^M A(\Gamma_l)$$

show

理解相变: 序参量

- 如果外场为零, 严格按配分函数计算 m , 对称性要求 m 永远为零, 因为

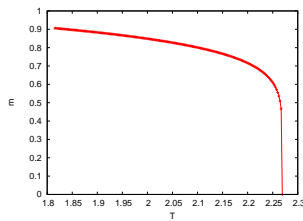
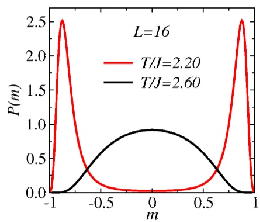
$$m = \frac{1}{N} \langle M \rangle = \frac{1}{N} \sum_{\Gamma} M(\Gamma) p(\Gamma)$$

对任意一个 $\Gamma = (s_1, \dots, s_N)$, 都有唯一一个 $\Gamma' = (-s_1, \dots, -s_N)$,

$$M(\Gamma) = -M(\Gamma'), \quad p(\Gamma) = p(\Gamma')$$

这称为翻转对称性(Z_2).

- $T > T_c$ 在 $m = 0$ 附近形成单峰, $T < T_c$ 在 $\pm \bar{m}$ 形成对称双峰



- 在热力学极限下

- ▶ 相变破坏了这种对称性, 称为对称性自发破缺
- ▶ 破缺的程度由 m 来度量, 称为序参量

关联函数

► $T \gg T_c$ 热涨落 $\langle s(r) \rangle = \langle s \rangle = 0$,

► $T \rightarrow 0$, 对称破缺

$$\langle s(r)s(0) \rangle \approx \langle s \rangle^2 \approx 1^2, \quad \text{平移不变} \rightarrow m = \langle s(r) \rangle = \langle s \rangle \text{是序参量}$$

- 定义涨落关联函数 $G(r) \equiv \langle (s(r) - \langle s \rangle)(s(0) - \langle s \rangle) \rangle = \langle s(r)s(0) \rangle - \langle s \rangle^2$

$$G(r) \propto \frac{e^{-r/\xi}}{r^{d-2+\eta}}$$

- $T \rightarrow T_c$,

$$\xi \propto t^{-\nu} \rightarrow \infty,$$

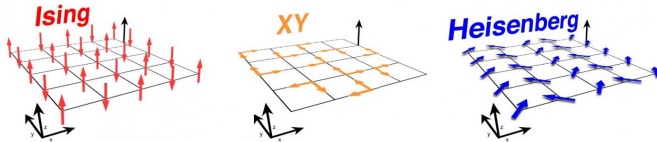
ν, η 是两个最重要的临界指数, 通过标度关系决定所有指数

磁化率与序参量的涨落关系

$$\chi \propto \langle s^2 \rangle - \langle s \rangle^2 \propto \int G(r) d^d r \propto \xi^{d-\eta} \propto |t|^{-\nu(d-\eta)}$$

$G(r)$ 的代数衰减, 或者说, ξ 的发散, 导致 χ 在 T_c 发散!

其他模型



$$H = -J \sum_{\langle i,j \rangle} \vec{S}_i \cdot \vec{S}_j$$

相变分别破缺不同的对称性

- Z_2 对称性
- $O(2)$ 对称性
- $O(3)$ 对称性

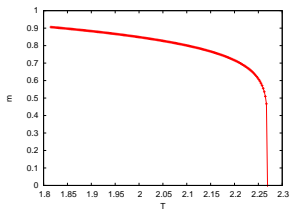
热致相变（经典相变）有没有一般性的理解？

- 由热涨落驱动，在临界点关联长度发散，导致奇异性
- 朗道：利用序参量来区分具有不同的对称性的相
- 粗粒化的连续场论：**LGW Hamiltonian**

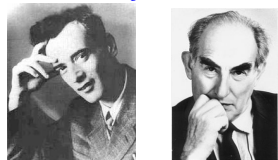
$$H(\Phi) = \int dV((\nabla\Phi)^2 + \frac{1}{2}s(T)\Phi^2 + \frac{1}{4}u(T)(\Phi^2)^2)$$
$$\mathcal{Z} = \int \mathcal{D}\Phi(x) e^{-H(\Phi)}$$

其中 $\Phi(\mathbf{x})$ 是局域序参量，粗粒化场 $\Phi(\mathbf{x}) \sim \sum_{i \in V} \mathbf{S}_i / V$
 s, u functions of T .

- $s \sim (T - T_c)$
- $T < T_c$ 长程序 $m = \langle \Phi \rangle \neq 0$: 对称性自发破缺



2D Ising transition



平均场理论

- 忽略其他可能的位形, 只看最可几位形

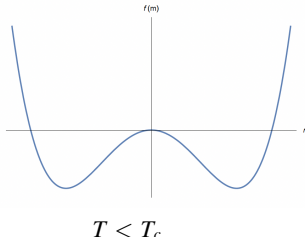
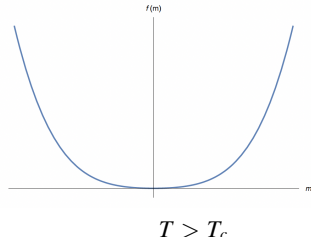
$$\frac{F}{k_B T} = -\ln Z \propto \frac{1}{2}s\Phi^2 + \frac{1}{4}u\Phi^4 + \dots$$

- Landau假设: $s = s_0(T - T_c)$, $u > 0$, 求使 F 极小的 Φ .

► $T \geq T_c, \Phi = 0$

► $T < T_c, \Phi = \sqrt{-s_0(T - T_c)/u}$

对单轴铁磁系统, $\Phi = m$



平均场理论

还可以计算临界指数:

- 比热不连续, 但是不发散, $c \propto (T - T_c)^{-\alpha}$, $\alpha = 0$
- 磁化强度: $m \propto (T - T_c)^{1/2}$, $\beta = 1/2$
- 磁化率: $\chi \propto (T - T_c)^{-1}$, $\gamma = 1$
- 状态方程: $h \propto m^3$, $\delta = 3$

致命的弱点:

- 与空间维数无关
- 所有问题临界指数一样

过于普适了!

相变的重整化群理论

Wilson 计算机很好，但数学天分差点儿
能不能不直接求解配分函数，而找到奇异性的起源？

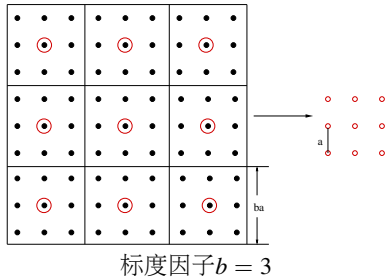
Wilson 发展了重整化群(**Renormalization Group**)理论

► 普适类: 临界指数由相互作用的对称性和空间维数决定

例如: 2D Ising, 3D Ising, 3D O(2), 3D O(3)

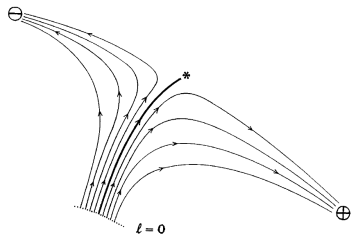


RG 变换: 保证微观尺度 a 不变的前提下, 收放系统



- $\xi' = \xi/b$, 临界点关联长度无穷大:
 $\xi \propto (T - T_c)^{-\nu}$, 因此对应**变换的不动点**

$$(t', h', u') = R_b(t, h, u) \rightarrow (t^*, h^*, u^*)$$



步骤

$t \propto (T - T_c)$, $h \propto$ 外场

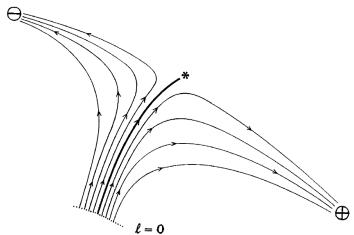
$$H(t, h, u) \xrightarrow{\text{粗粒化}} \bar{H}(\tilde{t}, \tilde{h}, \tilde{u}) \xrightarrow{\text{rescale}} H'(t', h', u')$$

总自由能不变, 密度增加了 b^d 倍

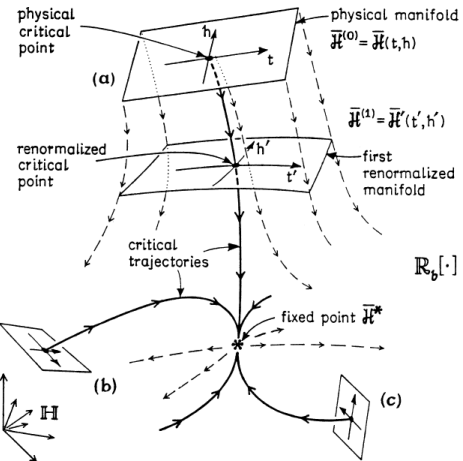
$$f(t, h, u) = b^{-d} f(t', h', u'),$$

- 不稳定方向决定临界指数** (一般有两个) : ν, η
- 流向不动点的方向称为**非关涉场(irrelevant)**

RG flow 和普适类



- 不稳定方向决定临界指数（一般有两个）： ν, η (y_t, y_h)
- 不同的物理模型可以流向同一个不动点
- 一个不动点决定一个普适类！



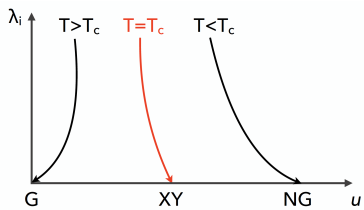
Fisher, RMP, 1998

$$t' = tb^{y_t}, h' = hb^{y_h}, u' = ub^{y_u}$$

3D XY model and 3D q-state clock model

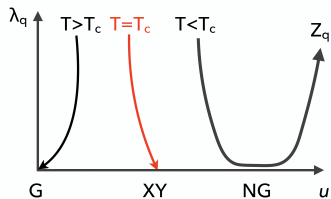
自旋在二维平面内，哈密顿 $O(2)$ 旋转不变

$$H = - \sum_{\langle i,j \rangle} \vec{S}_i \cdot \vec{S}_j = - \sum_{\langle i,j \rangle} \cos(\theta_i - \theta_j)$$



自旋在二维平面内，哈密顿 Z_q 旋转不变

$$H = - \sum_{\langle i,j \rangle} \cos(\theta_i - \theta_j) - h \sum_i \cos(q\theta_i)$$



Three fixed points

- $T > T_c$ Gaussian fixed point
- $T = T_c$ XY fixed point, $O(2)$ 对称性涌现
- $T < T_c$ XY low T fixed point
(Nambu-Goldstone)

- $T > T_c$ Gaussian fixed point
- $T = T_c$ XY fixed point, $O(2)$ 对称性涌现
- $T < T_c$ Z_q low T fixed point
- λ_q 称为dangerously irrelevant field:
at Z_q fixed point, $\lambda_q \neq 0$

提纲

相变基础知识

相变的统计物理描述

临界现象模型与理论

Ising model, 关联函数

数值模拟: 蒙特卡洛方法

序参量与关联函数

LGW 连续场论描述

标度理论与重整化群

量子临界现象

量子相变与模型

经典量子映射

场论描述与有限尺寸标度

退禁闭量子临界性介绍

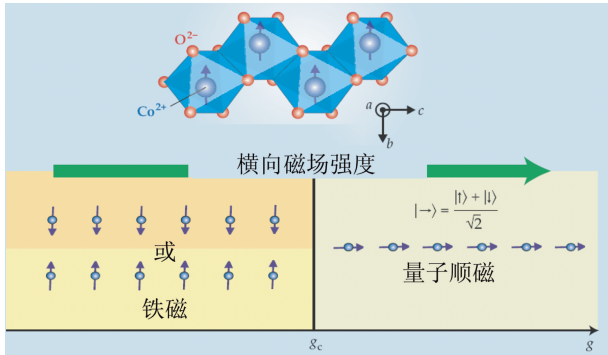
拓扑相变和拓扑激发

理论介绍

微观模型及其数值研究

- Spin-liquid-like state in disordered 2D quantum magnets

量子相变



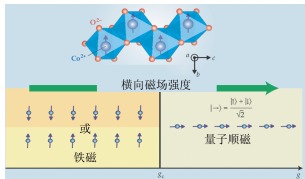
材料 $CoNb_2O_6$: Co^{2+} 离子的自旋取向只能与晶体场轴向平行或反平行

量子相变

量子横向Ising模型

$$H = -J \sum_{\langle i,j \rangle} s_i^z s_j^z - h \sum_k s_k^x \quad J > 0$$

与经典情况不同，我们考虑 $T = 0$



► $h \ll J$, 基态 $|0\rangle = \prod_i |z, +\rangle_i$ 或者 $\prod_i |z, -\rangle_i$

$$\lim_{|i-j| \rightarrow \infty} \langle s_i^z s_j^z \rangle \approx 1$$

► $h \gg J$, 基态 $|0\rangle = \prod_i |x, +\rangle_i$ 注意 s^z, s^x 不对易, 导致 **量子涨落**!

$$\langle s_i^z s_j^z \rangle \propto \exp\left(\frac{-|i-j|}{\xi}\right)$$

► $h \rightarrow h_c$, 临界!

$$\xi \sim (h - h_c)^{-\nu} \rightarrow \infty, \quad \langle s_i^z s_j^z \rangle \propto \frac{1}{|i-j|^\eta}$$

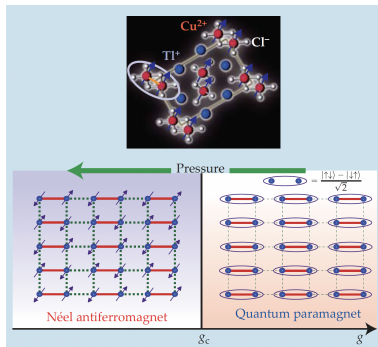
► 在 h_c 同样导致磁化率的发散!

另外一个量子相变的例子

- ▶ 反铁磁Néel-顺磁量子相变: demerized AF Heisenberg model

$$H = \sum_{\langle i,j \rangle} J_{ij} S_i \cdot S_j$$

$$J_{ij} = J_2, J_1; g = J_2/J_1$$



- $g < g_c$, 反铁磁Néel序
- $g > g_c$, dimer 相;
dimer 波函数是 $(|\uparrow\downarrow\rangle - |\downarrow\uparrow\rangle)/\sqrt{2}$ 的直积态, 量子顺磁.

Quantum rotor model

- 每个格点上有一个转子(rotor): 粒子在 $N - 1$ 维球面上运动. \mathbf{n} 是它的位置算符, \mathbf{L} 是它的角动量算符。
- Hamiltonian

$$H_R = \frac{Jg}{2} \sum_i \mathbf{L}_i^2 - J \sum_{\langle ij \rangle} \mathbf{n}_i \cdot \mathbf{n}_j = \int d\mathbf{x} \left(\frac{Jg\mathbf{L}^2}{2} + \frac{J}{2} (\nabla \mathbf{n})^2 \right)$$

$1/(Jg)$ 转动惯量, J 耦合作用

- $g \gg 1$, 转动能主导, 量子顺磁

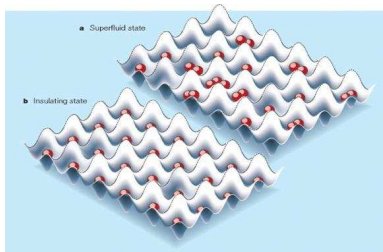
$$\langle 0 | \mathbf{n}_i \cdot \mathbf{n}_j | 0 \rangle \sim e^{-|x_i - x_j|/\xi}.$$

- $g \ll 1$, 耦合主导, 磁有序

$$\lim_{|x_i - x_j| \rightarrow \infty} \langle \mathbf{n}_i \cdot \mathbf{n}_j \rangle \approx 1$$

Bose-Hubbard 模型

Bose-Hubbard 模型可以描述光晶格中的玻色冷原子

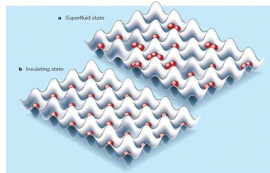


$$H = -t \sum_{\langle ij \rangle} a_i^+ a_j + \frac{U}{2} \sum_i n_i(n_i - 1) - \mu \sum_i n_i$$

- t 反映了粒子在近邻格点间的隧穿能量
- U 描述单个格点上的原子间的相互作用(我们只研究 $U > 0$)
- μ 是化学势

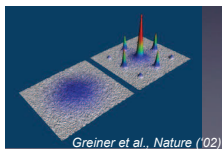
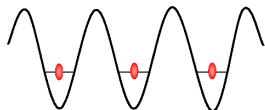
基态

1. $t \gg U$, 粒子的位置完全不确定, 系统处于超流相(SF)



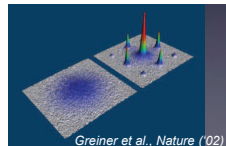
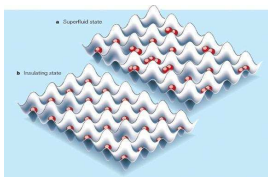
$$|\psi_{SF}\rangle_{U=0} \propto (\sum_{i=1}^M a_i^+)^N |0\rangle$$

2. $t \ll U$, 等量填充时, 每个格点占据相同数目的原子使总能量取最小, 系统处于 Mott 绝缘体相(MI)

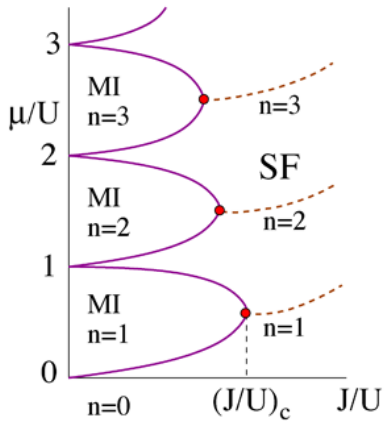


$$|\psi_{MI}\rangle_{t=0} \propto \prod_{i=1}^M (a_i^+)^n |0\rangle$$

相图



- ▶ MI: integer filling, insulating, gaped
- ▶ SF: any filling fraction, gapless

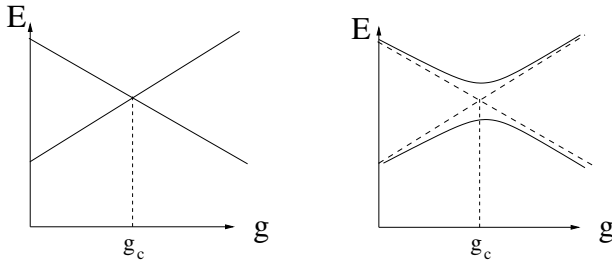


量子相变的一般描述

考虑一个Hamiltonian

$$H(g) = H_0 + gH_1$$

- ▶ $[H_0, H_1] = 0$: 同时对角化，激发态与基态交叉于 g_c : 一级相变



- ▶ $[H_0, H_1] \neq 0$: 当 $L \rightarrow \infty$, 两个能级在 g_c 无限靠近, 基态对称性发生变化

- 关联长度发散

$$\xi \sim (g - g_c)^{-\nu},$$

- 能隙(或特征能量涨落) Δ 定义动力学临界指数 z

$$\Delta \sim (g - g_c)^{z\nu} \sim \xi^{-z}, 1/\Delta = \xi_\tau$$

经典与量子的映射

考虑一条经典Ising 链, 无外场($B = 0$)



其配分函数可以通过转移矩阵计算

$$\mathcal{Z} = \sum_{\{s_i\}} e^{-H/T} = \sum_{\{s_i\}} \prod_{i=1,m} T_1(s_i, s_{i+1})$$

其中 $T_1(s_1, s_2) = e^{Ks_1s_2}$, 其中 $K = J/T$

将其理解为矩阵元

$$\mathcal{Z} = \text{Tr}(T_1^M)$$

其中

$$T_1 = \begin{pmatrix} e^K & e^{-K} \\ e^{-K} & e^K \end{pmatrix},$$

称为转移矩阵(transfer matrix)

经典与量子的映射



- T_1 的本征值为

$$\epsilon_{1,2} = e^K \pm e^{-K}$$

- 本征矢为

$$\frac{1}{\sqrt{2}} \begin{pmatrix} 1 \\ 1 \end{pmatrix} = |x, +\rangle, \quad \frac{1}{\sqrt{2}} \begin{pmatrix} 1 \\ -1 \end{pmatrix} = |x, -\rangle$$

- 自由能密度

$$f = -\frac{T \ln \mathcal{Z}}{M} = -\frac{T}{M} \ln(\epsilon_1^M (1 + \frac{\epsilon_2}{\epsilon_1})^M) \approx T \epsilon_1$$

经典与量子的映射



- 关联函数

$$\langle s_i s_j \rangle = \frac{1}{Z} \sum_s e^{-H/T} s_i s_j = \frac{1}{Z} \text{Tr}(T_1^i \sigma_z T_1^{j-i} \sigma_z T_1^{M-j})$$

When $M \rightarrow \infty$, 利用 T_1 本征矢为基矢, 注意 $\sigma_z |x, +\rangle = |x, -\rangle$

$$\langle s_i s_j \rangle = \left(\frac{\epsilon_2}{\epsilon_1}\right)^{j-i} = (\tanh K)^{j-i}$$

关联长度 ξ

$$e^{-\frac{j-i}{\xi}} = (\tanh K)^{j-i}, \quad \frac{1}{\xi} = -\ln(\tanh K)$$

当 $T \rightarrow 0, K \rightarrow \infty$, 有 $\xi \rightarrow \infty$. 可认为 $T_c = 0$.

经典与量子的映射

我们改写

$$\begin{aligned} T_1 &= e^K \begin{pmatrix} 1 & e^{-2K} \\ e^{-2K} & 1 \end{pmatrix} = e^K (1 + e^{-2K} \sigma_x) \\ &\approx e^K (1 + \frac{1}{2\xi} \sigma_x) \approx e^{K + \frac{1}{2\xi} \sigma_x} \end{aligned}$$

在 $\xi \rightarrow \infty$ 的极限下,

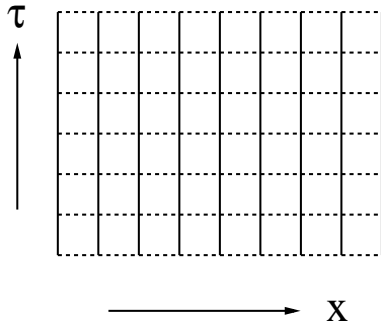
$$T_1 = e^{-\mathcal{H}_Q}$$

其中 $\mathcal{H}_Q = -K - \frac{1}{2\xi} \sigma_x$

$$\boxed{\mathcal{Z} = \text{Tr}(T_1)^M = \text{Tr } e^{-M\mathcal{H}_Q} = \text{Tr } e^{-\frac{\mathcal{H}_Q}{1/M}}}$$

- 这是一个温度 $T = 1/M \rightarrow 0$ 的量子系统!
- 一维无限长经典Ising链等价于零温下一个磁场中的量子自旋!
- $1/\xi = -\ln(\tanh J/T)$ 对应横向磁场.
- 经典系统 ‘相变’ 温度为 $T = 0$, 零温量子系统 ‘相变’ 磁场为 $1/\xi$
- 能隙 $\Delta = 1/\xi$

$(D+1)$ 维经典 $\Leftrightarrow D$ 维量子映射: 转移矩阵



- ▶ 任意挑选一个方向作为(虚)时间方向, 构造转移矩阵 T .
$$\mathcal{Z} = \text{Tr } T^M$$
- ▶ 转移矩阵把系统状态从一行转移到另一行, 相当于
$$T = e^{-\beta \mathcal{H}_Q}$$
- ▶ τ 方向相互作用贡献非对角项, 比如 ‘横场’

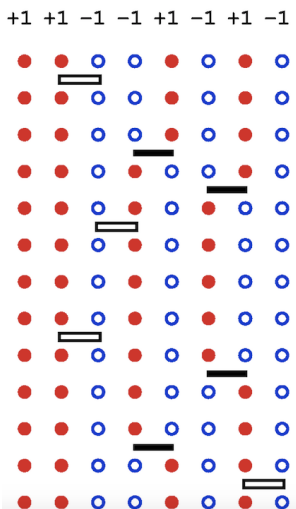
- ▶ 对应一个量子系统的配分函数

$$\mathcal{Z} = \text{Tr } e^{-M\mathcal{H}_Q} = \text{Tr } e^{-\beta \mathcal{H}_Q}$$

- ▶ 量子系统的倒温度 $\beta = M \rightarrow \infty$
 - 二维经典Ising模型 \rightarrow 一维量子横场Ising模型, $J/T \rightarrow J/h$
 - 二维经典Heisenberg 模型 \rightarrow 一维量子rotor 模型($N = 3$)

量子蒙卡可以理解为寻找量子模型的经典对应

- An SSE configuration



$$\langle A \rangle = \frac{\text{Tr}\{A e^{-\beta H}\}}{\text{Tr } e^{-\beta H}} \rightarrow \frac{\sum_c A_c W_c}{\sum_c W_c}$$

- S_z basis
- diagonal and loop updates
- observables and estimators
 - energy estimator : number of operators,
 $H_c = -n/\beta$
 - spin stiffness estimator : winding number fluctuations
- staggered magnetization
 $m_{sz} = \sum_i (-1)^{i_x+i_y} s_{iz}/N$
- 缺陷：有些量子模型很难找到非负权重的经典表示→符号问题

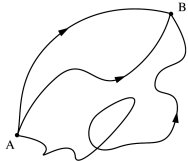
量子相变的场论描述

- 粗粒化场 $\Phi(\mathbf{r}, \tau) \sim \sum_i \mathbf{s}_i(\tau) / \Delta V$
- 时间可以‘转动’为温度
- 通过路径积分 把 D 维量子系统 映射到 $D + 1$ 维经典系统, 得到 Landau-Ginzburg-Wilson 形式的作用量

$$\mathcal{S}(\Phi) = \int dV d\tau (v^2 (\partial_\tau \Phi)^2 + (\nabla_x \Phi)^2 + \frac{1}{2} s \Phi^2 + \frac{1}{4} u (\Phi^2)^2)$$

$$Z = \int \mathcal{D}\Phi(x, \tau) e^{-\mathcal{S}(\Phi)}$$

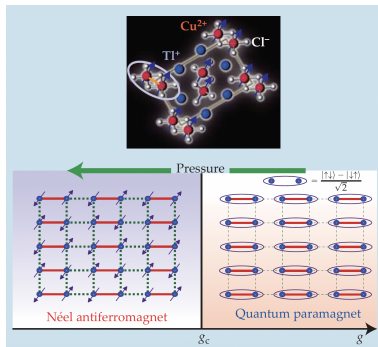
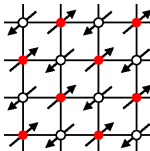
- 量子涨落
 - Wilson 注意到统计物理与量子场论的深刻联系
 - 一般的量子相变都可以用通常的 Landau-Ginzburg-Wilson 理论 来描述
时空维度 $D + 1$ 和对称性决定普适类



AF Néel-Paramagnetic 量子相变

- 二维热力学极限，基态破缺O(3)对称性，Néel态

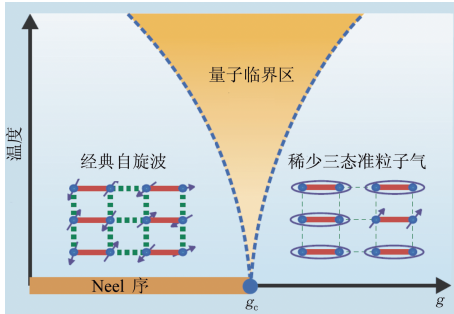
$$\langle \mathbf{m}_s \rangle = \left\langle \frac{1}{N} \sum_i \mathbf{S}_i (-1)^{x_i + y_i} \right\rangle \neq 0$$



- ▶ 普适类: 3D O(3), 已被量子蒙特卡洛模拟证实, LGW 成功!
 - ▶ 实验实现

What's special about quantum criticality?

- large $T > 0$ quantum critical “fan” where T is the only relevant energy scale
- 物理量遵从由 $T = 0$ 临界点决定的power laws



- 改变 T 等效于改变虚时尺寸 L_τ , 利用有限尺寸标度分析可以得到如下power laws

$$\xi \propto T^{-1} \quad \text{关联长度}$$

$$C \propto T^2 \quad \text{比热}$$

$$\chi(0) \propto T \quad \text{uniform 磁化率}$$

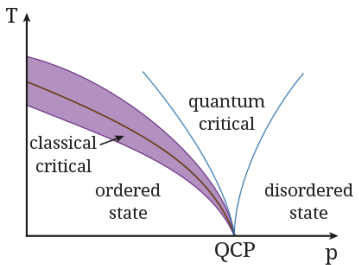
量子系统的‘经典’相变

一个量子系统，固定参数，比如 J, g , 改变温度，会发生什么？

量子系统的‘经典’相变

一个量子系统，固定参数，比如 J, g ，改变温度，会发生什么？

升高温度后，量子涨落在‘宏观小，微观大’的所谓‘介观’尺度内被平均掉：通常的热涨落驱动的相变，也就是‘经典’相变



- 二维量子Ising模型
如果 $h = 0$ ，在零温下沿 z 方向自发磁化（有序）。随着温度升高，也会在居里点变成顺磁态。
这个相变就是普通的Ising模型相变！
- 在 $T = 0$ ，改变横场 h ，发生的是量子相变，
等价于一个3维经典Ising模型的热相变！

提纲

相变基础知识

相变的统计物理描述

临界现象模型与理论

Ising model, 关联函数

数值模拟: 蒙特卡洛方法

序参量与关联函数

LGW 连续场论描述

标度理论与重整化群

量子临界现象

量子相变与模型

经典量子映射

场论描述与有限尺寸标度

退禁闭量子临界性介绍

拓扑相变和拓扑激发

理论介绍

微观模型及其数值研究

- Spin-liquid-like state in disordered 2D quantum magnets

是不是所有的量子相变都可以纳入朗道-金兹堡-威尔逊范式？

是不是所有的量子相变都可以纳入朗道-金兹堡-威尔逊范式？

事情没有这么简单
或者说比这有趣！



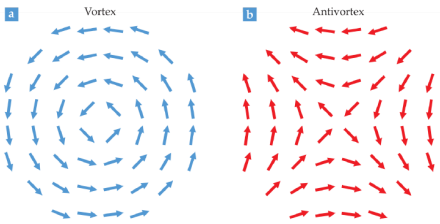
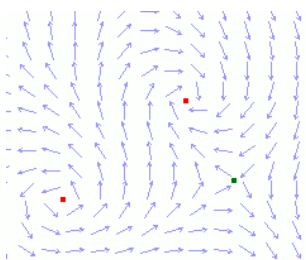
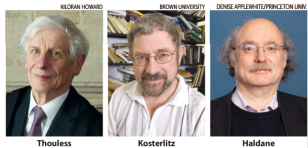
这三位**2016**年诺贝尔奖获得者将**拓扑**引入了物理学

拓扑相变

$$H = - \sum_{\langle i,j \rangle} \vec{S}_i \cdot \vec{S}_j = - \sum_{\langle i,j \rangle} \cos(\theta_i - \theta_j)$$

没有长程序的二维XY类模型中发生的相变:

Kosterlitz-Thouless相变



涡旋拓扑荷

- 存在拓扑激发(或缺陷): 涡旋

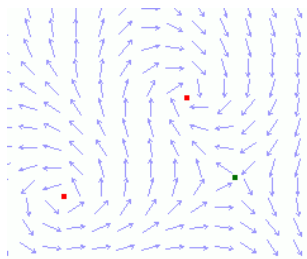
$$q = \frac{1}{2\pi} \oint \nabla \theta_{vor} \cdot d\vec{l}$$

拓扑相变

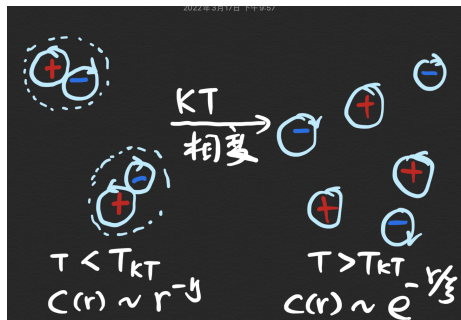
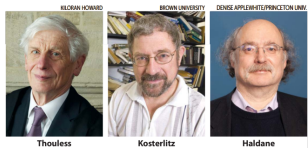
$$H = - \sum_{\langle i,j \rangle} \vec{S}_i \cdot \vec{S}_j = - \sum_{\langle i,j \rangle} \cos(\theta_i - \theta_j)$$

没有长程序的二维XY类模型中发生的相变：

Kosterlitz-Thouless相变



- 正负涡旋在 $T < T_c$ 时束缚在一起
- $T > T_c$ 涡旋对解束缚导致相变
- 不能用局域序参量描述



Haldane 的推广

一维量子反铁磁Heisenberg 模型

$$H_0 = J \sum \mathbf{S}_i \cdot \mathbf{S}_j$$

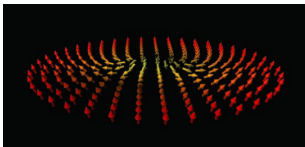


受KT思想启发， Haldane注意到了路径积分中的拓扑

$$\mathcal{S}_n = \frac{1}{2g} \int d\tau \int dx \left[\frac{1}{c^2} \left(\frac{\partial \mathbf{n}}{\partial \tau} \right)^2 + \left(\frac{\partial \mathbf{n}}{\partial x} \right)^2 \right] + \mathbf{S}_B; \quad \mathcal{Z} = \int \mathcal{D}\mathbf{n} e^{-S_n}$$

$\mathbf{n} = (-1)^x \mathbf{S}_i$; S_B 是拓扑项, 来自量子力学Berry phase, 带来 干涉效应

- 拓扑缺陷skyrmion
- skyrmion number Q 类似于涡旋的拓扑荷, $S_B = i2\pi SQ$
- 自旋整数的系统 $\exp(S_B) = 1$; Haldane phase, 拓扑导致的边缘态
- 自旋半整数系统 $\exp(S_B) = (-1)^Q$; 临界态 $G(R) \propto r^{-\eta}$



$$Q = \frac{1}{4\pi} \int d\mathbf{x} \mathbf{n} \cdot (\partial_1 \mathbf{n} \times \partial_2 \mathbf{n})$$

二维系统?

- 在AF Néel序, 由于序参量平滑变化, 相邻两条链的Berry phase 抵消, 即使 $S = 1/2$ 系统 S_B 也不起作用

Chakravarty, Halperin, Nelson, PRB 39, 2344(1989)

- 如果考虑引入竞争项, 并导致离开反铁磁相的相变, 情况就不同了

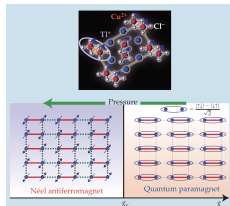
$$H = J \sum \mathbf{S}_i \cdot \mathbf{S}_j + gH_1$$

- Demerized Heisenberg 模型每个原胞中有偶数个 $S = 1/2$ 自旋,

它的无序态是平庸的顺磁态, 拓扑激发在其
中不起作用, 只是破坏长程序

可以用LGW理论描述, 属于3D O(3)普适类

- 更有趣的非磁性基态; 每个原胞有一个 $S = 1/2$ 自旋



非磁性而非平庸基态

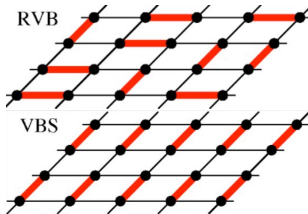
- $\langle \mathbf{m}_s \rangle = \left\langle \frac{1}{N} \sum_i \mathbf{S}_i (-1)^{x_i + y_i} \right\rangle = 0$

► Valence bond(价键态或自旋单态) 

- resonating valence-bond (RVB) 自旋液体(spin liquid)

没有任何长程序

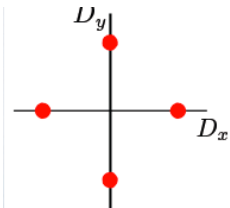
- valence-bond solid (价键固体VBS)
破缺了晶格的平移和旋转对称性



VBS 序参量(D_x, D_y)

$$D_x = \frac{1}{N} \sum_{i=1}^N (-1)^{x_i} \mathbf{S}_i \cdot \mathbf{S}_{i+\hat{x}}, D_y = \frac{1}{N} \sum_{i=1}^N (-1)^{y_i} \mathbf{S}_i \cdot \mathbf{S}_{i+\hat{y}}$$

$$\langle (D_x, D_y) \rangle \neq 0$$

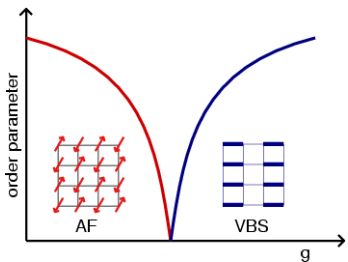


VBS由拓扑激发导致 Read and Sachdev, PRL 62, 1694(1989)

- 从 Néel 到 VBS 的相变是怎样的?

Deconfined quantum criticality 解禁闭量子相变

从Néel-VBS的连续相变: 与LGW理论不同 Senthil et al Science (2004)



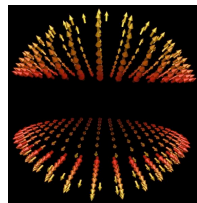
- 顺磁相 quadrupled monopoles 导致VBS: **relevant** Read and Sachdev, PRL 1989
- 相变点处拓扑激发不起作用: **irrelevant**, **3D defect-suppressed O(3)普适类**
- 后果很严重:** violate Landau's rule;
既不是3D O(3)也不是3D O(2); 3D Z₄模型中Z₄各向异性是dangerously irrelevant

利用spinon场表示的场论

- 两边的序参量都由自旋1/2的spinon场得到
- NCCP¹ action

$$\mathcal{S}_z = \int d\mathbf{r}^2 d\tau [|(\nabla - iA)z|^2 + s|z|^2 + u(|z|^2)^2] + \kappa (\nabla \times A)^2$$

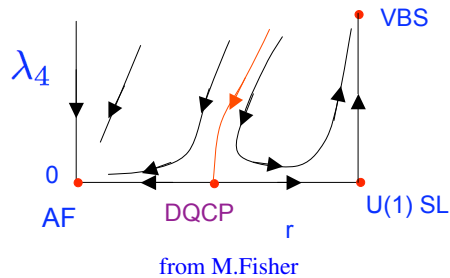
- VBS一侧spinon感受到线性势: confined, 在临界点deconfine



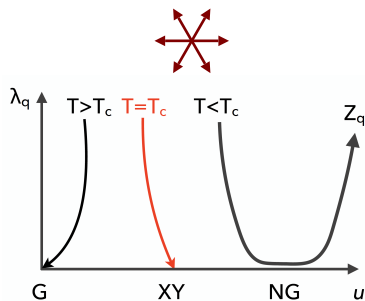
Q 的改变对应monopole

Expected RG flows in DQC

λ_4 是拓扑缺陷的逸度(fugacity)



Z_q 模型的重整化流图



Skyrmion的dangerously irrelevant行为类似于3D Z_4 models:

Z_4 各向异性的dangerously irrelevant

- correlation length $\xi \propto (g - g_c)^{-\nu}$;
- cross-over length scale from XY order to Z_q order $\xi' \propto (g - g_c)^{-\nu'}$

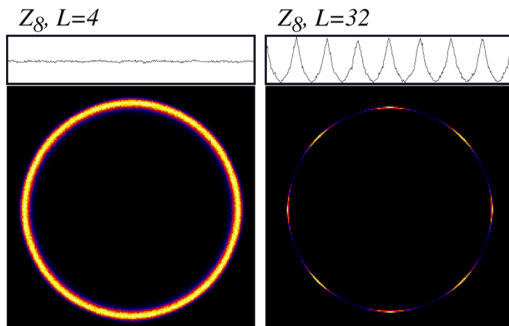
两尺度临界行为！

通过MC 模拟显示 Z_q 模型的crossover 行为

- standard order parameter (m_x, m_y)

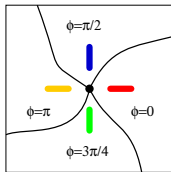
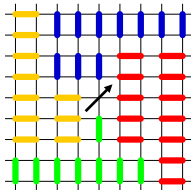
$$m_x = \frac{1}{N} \sum_i \cos(\theta_i), \quad m_y = \frac{1}{N} \sum_i \sin(\theta_i)$$

- probability distribution $P(m_x, m_y)$ shows cross-over from U(1) to Z_q for $T < T_c$

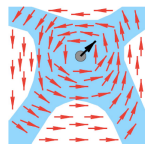


Lou, Balents, Sandvik, PRL 2007
在同一个温度下，不同尺寸的行为

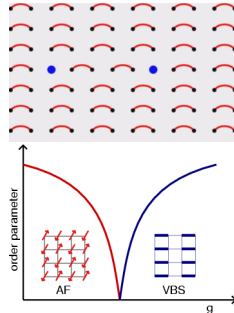
Deconfined Quantum Criticality, picture from VBS side



- Topological defect: **Z₄ vortex** form at nexus of four domain walls



- ξ' is the thickness of domain wall, diverges faster than ξ
- At the core, **there's an unpaired spin → spinon**
different from Z_4 vortex of the $q = 4$ clock model



- Spinons bind together in the VBS state (**confinement**) and condensate in the Néel state, **deconfine** at the critical point
- leading to a **continuous** phase transition in a New universality

Levin and Senthil, PRB 70, 2004

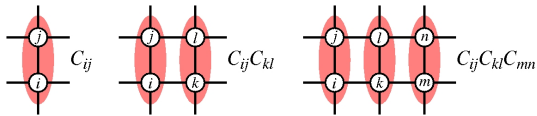
numerical study of the DQC

数值模拟方法研究DQC–JQ model

海森堡模型加上多自旋相互作用: ”人造” J - Q 模型

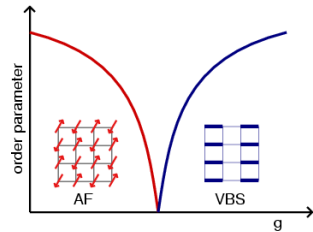
Sandvik, PRL, 2007

$$H = -J \sum_{\langle ij \rangle} C_{ij} - Q \sum_{\langle i j k l \rangle} C_{ij} C_{kl}, \quad C_{ij} = \left(\frac{1}{4} - \mathbf{S}_i \cdot \mathbf{S}_j \right)$$



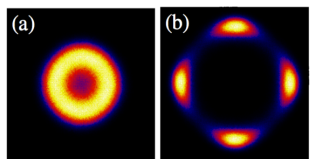
Lattice symmetries are kept

- large Q , columnar VBS
- small Q , Néel
- No sign problem
- ideal for QMC study of the DQC physics

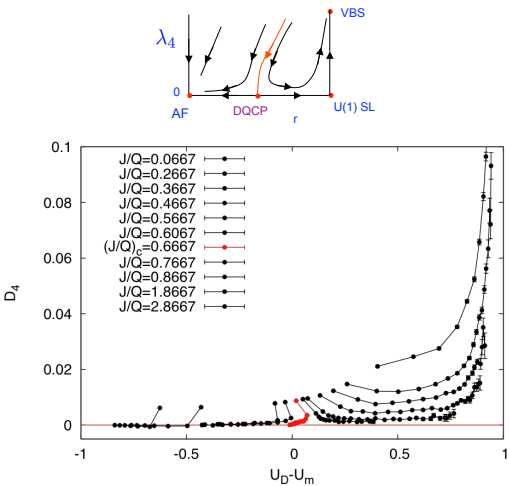


Emergent U(1) and RG flows in the J - Q_3 model

$P(D_x, D_y)$: emergent U(1) symm



- Define D_4 as m_q in the Z_q model to quantify Z_q anisotropy
- Use Binder cumulants U_m and U_D
 - $U_m - U_D$ shows flows to dqc, Neel and VBS



Shao, Guo, Sandvik (work in progress)

- Shows similarity with the Z_q models, but Z_q models only have one ordered phase, **different universality expected**

标度失效(scaling violation)

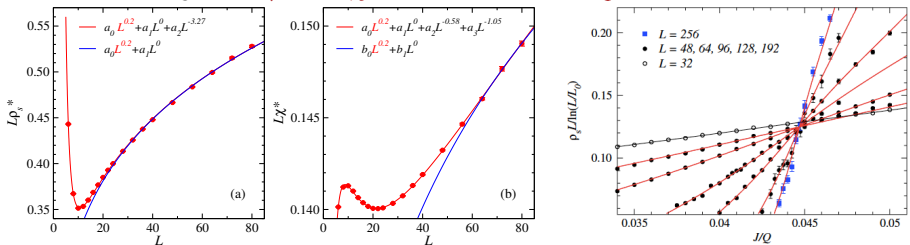
自旋劲度 $\rho_s \propto \delta^{\nu(d+z-2)}$, 磁化率 $\chi \propto \delta^{(d-z)\nu}$

Conventional FSS

$$\boxed{\rho_s(\delta, L) = L^{-\nu(d+z-2)/\nu} f(\delta L^{1/\nu}), \quad \chi(\delta, L) = L^{-\nu(d-z)/\nu} f(\delta L^{1/\nu})}$$

At critical point: $\rho_s \propto L^{-(d+z-2)} = L^{-z}$, $\chi \propto L^{-(d-z)}$

$z = 1$ for J - Q model, $\rho_s L$ and χL should be constants at q_c



- $z \neq 1$ does not work
- large scaling corrections? Sandvik PRL 2010, Bartosch PRB 2013
- weak first-order transition? Chen et al PRL 2013 这意味着DQC理论的失败
困境! Nahum et al PRX, 2015; arXiv: 1506.06798

量子临界两尺度标度

Shao, Guo, and Sandvik, Science 2016

- 两个发散长度由一个参数控制 $\xi \propto \delta^{-\nu}$, $\xi' \propto \delta^{-\nu'}$
- 某个物理量 A 的有限尺寸标度, 在热力学极限下 $A \propto \delta^\kappa$
- Conventional scenario

$$A(\delta, L) = L^{-\kappa/\nu} f(\delta L^{1/\nu}, \delta L^{1/\nu'}), \quad A(\delta = 0, L) \propto L^{-\kappa/\nu}$$

$$L \rightarrow \infty, f(\delta L^{1/\nu}, \delta L^{1/\nu'}) \rightarrow (\delta L^{1/\nu})^\kappa, \text{recovers } A \propto \delta^\kappa$$

- We propose

$$A(\delta, L) = L^{-\kappa/\nu'} f(\delta L^{1/\nu}, \delta L^{1/\nu'}), \quad A(\delta = 0, L) \propto L^{-\kappa/\nu'}$$

$$\text{when } L \rightarrow \infty, f(\delta L^{1/\nu}, \delta L^{1/\nu'}) \rightarrow (\delta L^{1/\nu'})^\kappa \text{ leads to } A \propto \delta^\kappa$$

For example: spin stiffness ρ_s , $\kappa = \nu(d + z - 2) = 1$. At q_c

NOT $\rho_s \propto L^{-1}$, BUT $\rho_s \propto L^{-\nu/\nu'}$

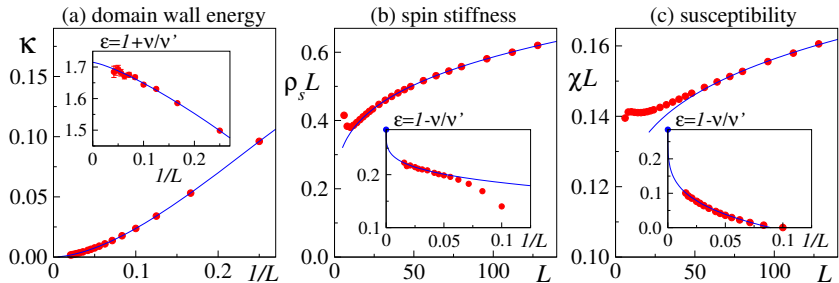
- We provide a phenomenological explanation

Evidence for unconventional scaling

Shao, Guo, and Sandvik, Science 2016
according to our scaling form

$$\rho_s \sim L^{-\nu/\nu'}, \quad \text{instead of } \rho_s \sim L^{-1}$$

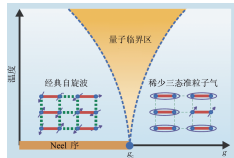
$$\chi \sim L^{-\nu/\nu'}, \quad \text{instead of } \chi \sim L^{-1}$$



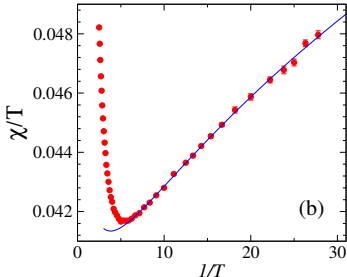
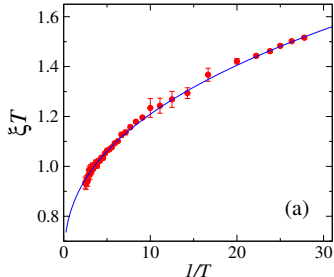
- This explains drifts in $L\rho_s$ and χL in J-Q and other models ($z = 1, d = 2$)

有限温度下的反常标度行为

- $\beta = 1/T$ 也是 ‘有限尺寸’：
 $L \rightarrow \beta^{1/z}$
- 通常的标度理论($z = 1$ for J-Q)
 - ▶ $\xi \sim L$ 给出 $\xi_T \propto \beta^{1/z} = T^{-1}$,
 - ▶ $\chi \sim L^{-(d-z)}$ 给出 $\chi_T \propto \beta^{-(d-z)/z} = T$
- 新的标度, 考虑 ν/ν' :



$$\xi_T \propto T^{-\nu'/\nu}; \chi \sim L^{-\nu/\nu'} \text{ leads to } \chi_T \propto T^{\nu/\nu'}$$



结论

- 简单的两尺度标度假设可以解释“标度违背”
- 对于 $T > 0$ 我们利用有限尺寸标度形式可以得到新的标度律

Reference:

1 Science 354, 213 (2016)

提纲

相变基础知识

相变的统计物理描述

临界现象模型与理论

Ising model, 关联函数

数值模拟: 蒙特卡洛方法

序参量与关联函数

LGW 连续场论描述

标度理论与重整化群

量子临界现象

量子相变与模型

经典量子映射

场论描述与有限尺寸标度

退禁闭量子临界性介绍

拓扑相变和拓扑激发

理论介绍

微观模型及其数值研究

- Spin-liquid-like state in disordered 2D quantum magnets

- Searching for Spin-liquid-like state in 2D quantum magnets

Random Singlet state

- Random Singlet (RS) state: No any longrange order, correlations decay algebraically, a spin-liquid-like state
- 1D: Random Singlet state in random $J S = 1/2$ chain is well known
 - Each spin is paired with one other spin that maybe very far away

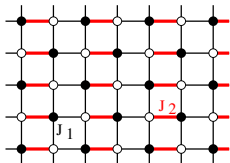


- using SDRG, properties of the Infinite Randomness Fixed Point are found
 - ▶ very slow dynamics $z \rightarrow \infty$
 - ▶ typical corr. $C^{typ}(r) \propto \exp(-cr^{1/2})$
 - ▶ but mean spin correlation $C(r) \propto 1/r^2$, dominated by rare long VBs

Dasgupta and Ma, PRB 22, 1305(1980); D. Fisher, PRB 50, 3799 (1994)

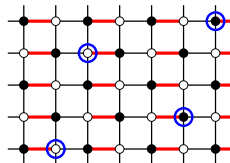
- exist (or stable) in 2D unfrustrated systems? Controversial

Simpler system: site diluted Heisenberg dimer system



For intact system

- $J_2/J_1 > 1.91$ dimerized phase



When diluted

- Unpaired ‘dangling spin’ moments form in gapped host system
- Effective bipartite interactions
Nagaosa, et al J.P.S.J, 1996
- Moments form weak AFM order

Is this the fate of the spinons in the square-lattice disordered VBS?

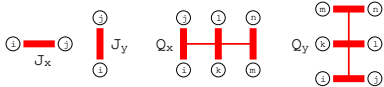
- Kimchi, Nahum and Senthil: Most likely yes
frustrated interactions required to induce RS state
PRX 2018
- Our conclusion: RS phase exists in 2D unfrustrated systems

Models, schematic phase diagrams

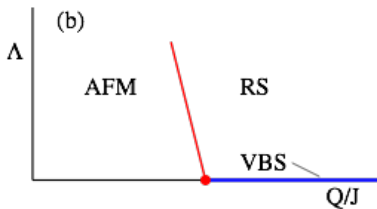
- Introduce randomness to the 2D J - Q_3 model

$$H = -J \sum_{\langle ij \rangle} C_{ij} - Q \sum_{\langle ijklnm \rangle} C_{ij} C_{kl} C_{mn},$$

$$C_{ij} = \left(\frac{1}{4} - \mathbf{S}_i \cdot \mathbf{S}_j \right)$$



- random Q : e.g. $Q_{ijklmn} = 0, 2Q$ randomly
- random J : e.g. $J_{ij} = 0, 1$ or $J_{ij} \in [1 - \Delta, 1 + \Delta]$
- We find the schematic phase diagrams: Λ represents disorder strength

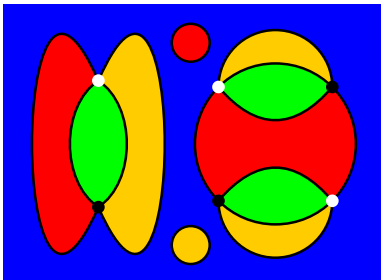
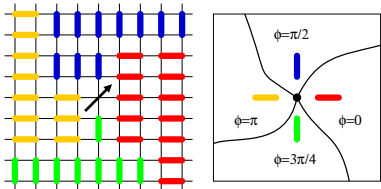


Mechanism of RS state formation

- Clean system, there's no static domain wall
- spinon pairs move in the whole space-time

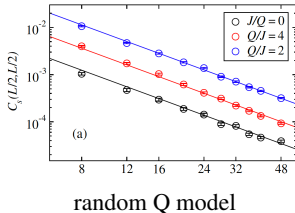
However, when disorder introduced

- According to Imry-Ma argument,
 - ▶ any amount of disorder in a VBS will cause domain formation: **destroy VBS**
- Spinons form in pairs (**Not random distribution**) and **frozen**:
a pair (left) and a quadruplet (right)
- domain walls mediate spinon-spinon interactions
- **pairing avoids AFM order**, instead power-law correlations



Properties of the RS phase: correlations

- C_s : spin-spin correlation;



- Finite temperature behavior of the uniform susceptibility

$$\chi_u \propto T^{d/z-1}$$

we found

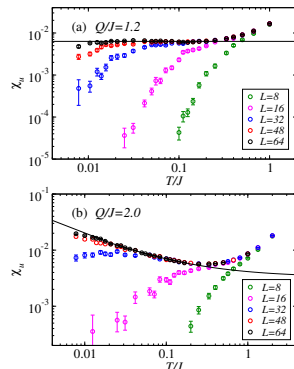
- $z = 2$ at transition points
- $z > 2$ inside the RS phases

For large Q/J :

- $C_s(L/2, L/2) \propto 1/L^2$
- Scaling: $C_s(r) \propto 1/r^{D+z-2+\eta}$

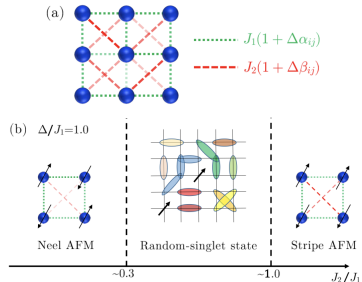
therefore,

$$z + \eta = 2$$



Similar results found in frustrated system

H.D. Ren, T.Y. Xiong, H.Q. Wu, D.N. Sheng, and S.S. Gong, arXiv: 2004.02128

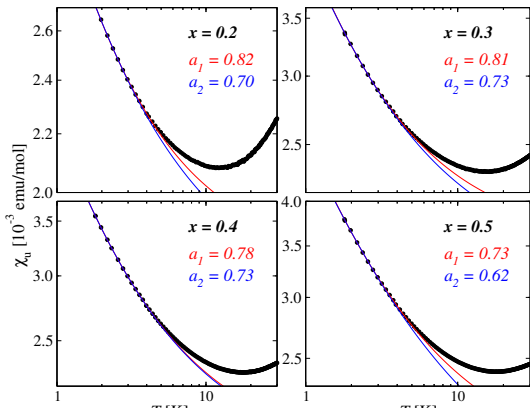


- DMRG calculations with 2D J_1 - J_2 Heisenberg model, frustrated system
- confirm universal RS state with $z + \eta = 2$

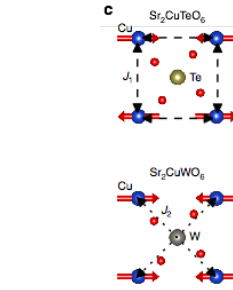
RS state, Not just in JQ model, a universal behavior

Experiments: Some 'disordered spin liquids' may actually be RS states

- ▶ Recent example $Sr_2CuTe_{1-x}W_xO_6$
square lattice $S = 1/2$ system with J_1 or J_2 randomly on plaquettes



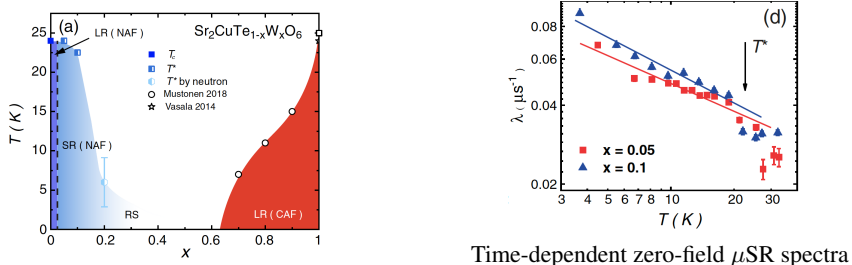
Watanabe, et al, arXiv:1808.02614



- The fitting curves are
$$\chi_u = \chi_0 + cT^{-a}$$
$$a = 1 - d/z$$
 - ▶ red: $T < 4K$
 - ▶ blue: $T < 3K$
- different from Curie's law

Experiments: Some 'disordered spin liquids' may actually be RS states

Experiment done by ShiLiang Li's group
Hong, Liu, et al, PRL, 126, 037201 (2021)



Time-dependent zero-field μ SR spectra

- The relaxation rate exhibits quantum-critical scaling with dynamic exponent $z > 2$

$$\lambda \propto T^{-a} \quad a = 1 - d/z.$$

We found

- for $x = 0.05$, $a = 0.35 \pm 0.03 \rightarrow z = 3.0 \pm 0.2$
- for $x = 0.1$, $a = 0.42 \pm 0.03 \rightarrow z = 3.5 \pm 0.3$

Conclusions

- We found RS phase in unfrustrated 2D system; but not infinite-randomness fixed point (z is finite)
- We can not rigorously exclude weak AFM order
 - ▶ unlikely, in light of well-characterized AFM-RS critical point
- The RS phase may be universal
 - ▶ properties can be investigated in great detail with QMC
 - ▶ comparisons with experiments possible, e.g., varying z . Some 'disordered spin liquids' may actually be RS states

References:

1. L. Liu, H. Shao, Y. Lin, W.G. A. Sandvik, Phys. Rev. X **8**, 041040 (2018)
2. L. Liu, W.G. A. Sandvik, Phys. Rev. B **102**, 054443 (2020)
3. W. Hong, L. Liu, et al, Phys. Rev. Lett. **126**, 037201 (2021)

主要参考文献

- 1 S. Sachdev, Quantum Phase Transitions (Cambridge University Press, Cambridge, England, 1999).
- 2 A. W. Sandvik, AIP Conf. Proc. 1297, 135 (2010).